

ющих элементов приведет к расширению механической перестройки частоты генератора и к увеличению мощности его выходного сигнала.

Наличие двух выводов энергии может быть полезно во многих системах с синхронизацией, автоматическим регулированием частоты и др. [6]. Очевидна перспектива сложения мощностей нескольких диодов в рассматриваемой колебательной системе путем размещения их под металлическими неоднородностями. Можно считать, что полупроводниковые генераторы с квазиоптической диэлектрической резонансной системой найдут применение при создании ДИС миллиметрового и субмиллиметрового диапазонов длин волн.

Авторы благодарны Г. А. Малышеву за изготовление экспериментальных макетов.

Литература

- [1] Itoh T. Microwave J., 1982, v. 25, N 9, p. 113—126.
- [2] Взятышев В. Ф. В кн.: Проектирование и применение радиоэлектронных устройств на диэлектрических волноводах и резонаторах. Саратов, 1983, с. 15—18.
- [3] Иогансен Л. В. Письма в ЖТФ, 1986, т. 12, № 5, с. 308—311.
- [4] Хансперджер Р. Интегральная оптика. М.: Мир, 1985. 379 с.
- [5] Андренюк С. Д., Девятков Н. Д., Шестopalов В. П. ДАН СССР, 1978, т. 240, № 6, с. 1340—1343.
- [6] Lazarus M. J., Davis R. Microwave J., 1985, v. 28, N 3, p. 165—170.

Институт радиофизики
и электроники АН УССР
Харьков

Поступило в Редакцию
25 июня 1987 г.

УДК 539.4 : 678.067

Журнал технической физики, т. 58, в. 11, 1988

ИССЛЕДОВАНИЕ ПРОЦЕССА НАКОПЛЕНИЯ ПОВРЕЖДЕНИЙ В ВОЛОКНИСТОМ КОМПОЗИТЕ МЕТОДОМ ЧИСЛЕННОГО ЭКСПЕРИМЕНТА

И. Н. Жданова, Д. Н. Карпинский

Известно, что в нагруженных волокнистых композитах (ВК) наблюдается длительная стадия объемного разрушения (многократное дробление волокон), при этом разрывы волокон вызывают в матрице структурные изменения, размеры которых сравнимы с расстоянием между волокнами [1]. Цель настоящей работы заключается в иллюстрации взаимодействия очагов разрушения и их влияния на накопление повреждений в нагруженном ВК.

Рассмотрим цилиндрический образец ВК длины L , армированный однонаправленными непрерывными волокнами с гексагональной упаковкой. Расстояние между ближайшими соседними волокнами $l = \sqrt{7/6\sqrt{3}} \cdot d_f \sqrt{\pi/v_f}$, где d_f — диаметр волокна, а v_f — объемная доля волокон. Образец ВК растягивается вдоль направления волокон постоянной нагрузкой σ_0 при постоянной температуре T . Растягивающее напряжение в волокнах и матрице определяется формулами

$$\sigma_f = \frac{\sigma_0}{\sigma_f + E_m v_f / E_f}, \quad \sigma_m = \frac{\sigma_0}{v_m + E_f v_f / E_m},$$

где $v_m = 1 - v_f$, а E_f и E_m — модули Юнга волокон и матрицы соответственно. Кинетика накопления повреждений волокон, учитывающая корреляцию мест разрывов моделировалась аналогично [2, 3]. В этих работах процесс дробления волокон рассматривался как ветвящийся процесс, при этом в [2] учитывались лишь корреляции мест разрывов вдоль одного волокна, а в [3] предполагалась также корреляция мест разрывов соседних с разорванным волокном за счет их перегрузки. В данной работе дополнительно учтена перегрузка соседних волокон из-за трещин в матрице, возникших при разрывах волокон.

При разрыве волокна длиной x на расстоянии ξ от одного из концов волокна выделяется энергия

$$\delta E = E(x) - E(\xi) - E(x - \xi),$$

где

$$E(x) = \frac{\pi d_f^2}{8E_f} \int_0^x \sigma(z) dz, \quad \sigma(z) = \sigma_f \left[1 - \operatorname{ch} K \left(\frac{z - \frac{x}{2}}{d_f} \right) \right] \operatorname{ch} K \frac{x}{d_f},$$

$$K = 8 \frac{G_m}{E_f} \frac{v_f^{1/2}}{1 - v_f^{1/2}}, \quad G_m = E_m(1 + \nu_m).$$

Эта энергия расходуется на образование трещины раскрытия и пластическое деформирование матрицы вблизи места разрыва [4].

Предположим, что образовавшаяся трещина имеет форму диска, радиус которого равен

$$r_c = \sqrt{\frac{\alpha \delta E}{2\pi \Gamma_m} + \frac{d_f^2}{4\Gamma_m} (\Gamma_m - \Gamma_f)}. \quad (1)$$

В (1) $\alpha \delta E$ — доля выделившейся энергии, затрачиваемой на образование трещины; $\Gamma_m \gg \Gamma_f$ — удельная эффективная поверхностная энергия материала матрицы. Предположим также, что ближайшие волокна «экранируют» напряжения в матрице из-за раскрытия трещины, поэтому r_c не превосходит l .

Остаток энергии $(1 - \alpha) \delta E$ затрачивается на пластический сдвиг матрицы вблизи места разрыва. Предположим, аналогично [5], что определяющее уравнение для материала матрицы имеет вид

$$\tau/\tau_0 = f(\gamma/\gamma_0) [1 + p_1 \ln(1 + \dot{\gamma}/\dot{\gamma}_0)], \quad (2)$$

где τ, γ — сдвиговые напряжения и деформация в матрице, возникающие при движении со скоростью $\dot{\gamma}$ концов разорванного волокна. В (2) $f(z) = z^n / (1 + az^{n+1})$, а $\tau_0, \gamma_0, a, n, p_1$ — параметры материала.

В [5] показано, что если скорость перемещения превышает \dot{u}^* , то решение типа простой пластической волны дает локализацию деформации в приграничном слое порядка δ , называемую «захват волны».

Численные расчеты [5] показали, что при $n=0.02$ и $a=0.005$ в (2) толщину сильно деформированного слоя можно оценить так

$$\delta = 0.014 c_0^2 / \dot{\gamma}_0 (\dot{u} + \dot{u}^*) \quad (3)$$

при $P_1=0.05, \gamma_0=0.01, 0 < \dot{u} < c_0$, где $c_0 = \sqrt{\tau_0 / \rho_m}$, ρ_m — плотность.

Будем полагать, что (3) может служить оценкой для размеров области значительных пластических деформаций в матрице вблизи места разрыва волокна. Разумно предположить, что в этих областях исчерпана деформационная способность матрицы, а это приводит к уменьшению Γ_m и к увеличению r_c (1).

В данной модели предполагается, что образец ВК разбит на 10 слоев, перпендикулярных направлению волокон. При разрыве волокна в k -слое образуется трещина и область больших пластических деформаций в виде цилиндра с осью на данном волокне диаметром 2δ и высотой $L/10$. Если в соседнем волокне образуется трещина, путь которой проходит через область больших деформаций, то ее размер вычисляется исходя из предположения об эффективной удельной поверхностной энергии $\Gamma_s < \Gamma_m$. При этом Γ_s вычисляется как средняя величина Γ_m и Γ_m/s пропорционально площадям, захватываемым трещиной в сильно Σ_1 и слабо Σ_2 деформированных областях матрицы

$$\Gamma_s = \frac{\Gamma_m \Sigma_2 + \Gamma_m \Sigma_1/s}{\Sigma_1 + \Sigma_2}, \quad (4)$$

где s — постоянная уменьшения Γ_m в сильно деформированной области матрицы.

Для расчетов выбраны следующие значения постоянных: $E_f = 4 \cdot 10^4 \text{ кГ/мм}^2, d_f = 0.14 \text{ мм}, \nu_f = 0.5$ (борные волокна), $\Gamma_m = 1 \text{ Дж/м}^2, E_m = 7200 \text{ кГ/мм}^2$ (алюминиевая матрица), $L = 50 \text{ мм}$, эффективная длина волокна $l_0 = 3 \text{ мм}, \sigma_0 = 20 \text{ кГ/мм}^2, \alpha = 0.5, s = 5$. Поскольку набор постоянных из (2), (3) для алюминиевой матрицы неизвестен авторам, то для качественной оценки приняты постоянные, соответствующие слабой стали [5]. В частности, величина критической скорости перемещения $\dot{u}^* = 30 \text{ м/с}$, а постоянная $c_0 = 200 \text{ м/с}$ в (3) для этого материала.

Результаты расчетов представлены на рис. 1—3, откуда видно, что распределение мест разрывов $n(x, t)$ в образце ВК является гладкой функцией, монотонно возрастающей с ростом $t/\tau(L)$. Здесь и далее $\tau(L)$ — среднее время жизни волокна длиной L , которое зависит также от σ_0 и T [2, 3]. С другой стороны, количество энергии, выделяемое при разрывах волокон в единицу времени $W(x, t)$ имеет выраженную пикообразную форму. Одной из основных причин указанного несовпадения распределений $n(x, t)$ и $W(x, t)$ является дальнодействие возмущений, действующих на высокомодульное волокно («размазывание» возмущения вдоль волокна) [1, 6]. Другой характерной чертой нашей модели является учет локальности воз-

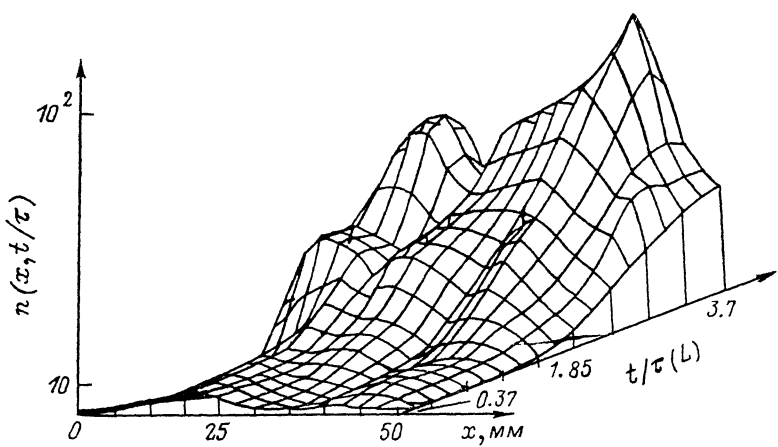


Рис. 1. Эволюция распределений мест разрывов волокон в ВК в зависимости от безразмерного времени $t/\tau(L)$ и координаты x вдоль направления волокон в образце.

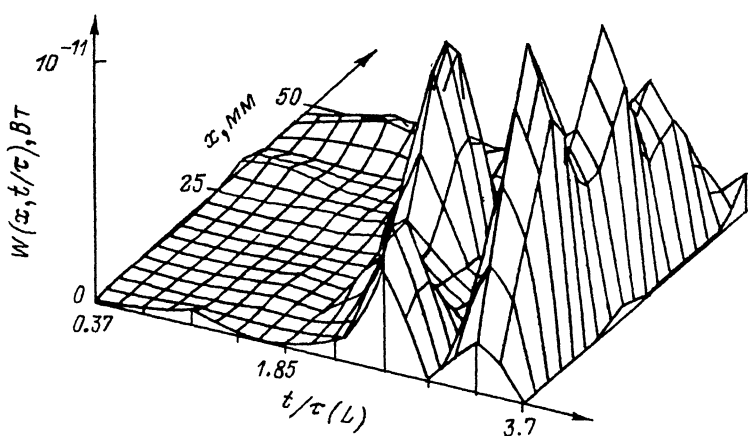


Рис. 2. Эволюция распределений выделившейся мощности при разрывах высокомодульных волокон в ВК как функция безразмерного времени $t/\tau(L)$ и координаты x вдоль направления волокон.

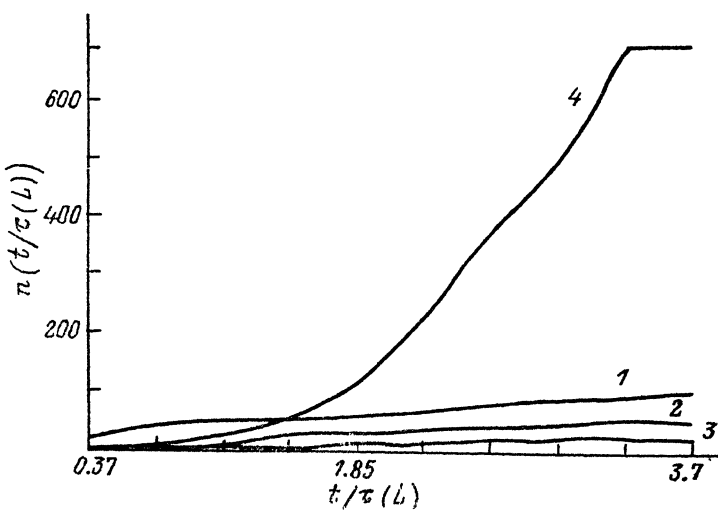


Рис. 3. Временная зависимость количества разрывов волокон.
1 — одиночные разрывы, 2 — согласованные двойные, 3 — тройные, 4 — 4-х и более высокой кратности.

действия разрыва волокна на окружающую его матрицу. По нашему мнению, эти два положения составляют основу теории, способной в дальнейшем обосновать в деталях экспериментальные данные [4].

Рассмотрим теперь подобное вклад отдельных разрывов волокон в рамках тех же представлений. На раннем этапе процесса накопления разрывов волокон преобладают одиночные разрывы, они же дают основной вклад в выделяемую мощность W (рис. 3). Здесь же явно видна последовательность «включения» механизмов согласованных разрывов возрастающей кратности. На рис. 3 видно затухание действия механизмов по мере исчерпания мест разрывов волокон. Особое внимание следует обратить на заметное возрастание числа многократных разрывов, существенно превышающих количество одиночных разрывов волокон.

4 Представленные результаты расчетов на ЭВМ подтверждают важность учета кооперативности процесса накопления повреждений на примере образца ВК. Специфика данного материала связана с его сильной анизотропией механических свойств: дальнодействием возмущения волокон вдоль направления растяжения и локализацией возмущения матрицы при разрыве высокомодульного волокна.

4а Авторы благодарят А. Н. Орлова за полезные советы и внимание к работе.

Литература

- [1] Аргон А. В. В кн.: Композиционные материалы. Разрушение и усталость. М., 1978, с. 166—202.
- [2] Карпинский Д. Н., Ахтырец Д. Ф. Изв. Сев.-Кавк. научн. центра высш. шк. Естеств. науки, 1980, № 1, с. 30—32.
- [3] Жданова И. Н., Карпинский Д. Н. Изв. Сев.-Кавк. научн. центра высш. шк. Естеств. науки, 1986, № 2, с. 67—72.
- [4] Лексовский А. М., Абдуланов А., Ахунов Р. П. и др. МКМ, 1984, № 6, с. 1004—1010.
- [5] Wu F. H., Freund L. B. J. Mech. Phys. Sol., 1984, v. 32, N 2, p. 119—132.
- [6] Баженов С. Л., Маневич Л. И., Берлин Ал. Ал. ДАН СССР, 1984, т. 277, № 4, с. 854—857.

Ростовский государственный университет
им. М. А. Суслова

Научно-исследовательский институт
механики и прикладной математики
Ростов-на-Дону

Поступило в Редакцию
27 июня 1987 г.

УДК 621.384.6

Журнал технической физики, т. 58, в. 11, 1988

ДОУСКОРЕНИЕ СИЛЬНОТОЧНЫХ ИОННЫХ ПУЧКОВ В ЛИНЕЙНОМ ИНДУКЦИОННОМ УСКОРИТЕЛЕ

B. A. Кияшко, E. A. Корнилов, B. A. Винокуров

Несмотря на впечатляющие результаты по генерации мощных ионных пучков (МИП), по существу нерешенной является проблема доускорения сильноточных зарядово-нейтрализованных пучков ионов, энергия которых в ряде случаев должна существенно превышать мегавольтный уровень [1]. Для увеличения энергии МИП можно использовать способ ускорения ионов в линейном плазменном индукционном ускорителе [2]. Однако при транспортировке МИП в однородной плазме в области дрейфа между ускоряющими зазорами наблюдается пучково-плазменная неустойчивость, приводящая к аномально большим потерям энергии ускоренных ионов, что существенно снижает эффективность ускорения [3, 4]. Известно [5], что в неоднородной плазме, когда масштаб неоднородности меньше длины релаксации пучка, происходит срыв резонанса между волнами и частицами, а коллективное взаимодействие при этом подавляется. Как показано в данной работе, использование неоднородной плазмы в канале транспортировки пучка позволяет реализовать эффективное доускорение МИП в линейном индукционном ускорителе.

Целью данной работы является экспериментальное исследование возможности доускорения килоамперных ионных пучков микросекундной длительности в трехзазорном ионном индукционном ускорителе (ИИНДУС), содержащем инжектор ионного пучка, описанный в [6], и две последовательно расположенные ускоряющие секции, каждая из которых собрана